

## II-286 交互砂州の発達過程と平衡波高の理論解析

東京工業大学大学院 学生会員 山坂 昌成  
東京工業大学工学部 正会員 福岡 捷二

1.はじめに 本研究は、交互砂州上の流れを理論的に求めるとともに、流砂運動まで統一的に取り扱い、交互砂州の発達過程を理論的に説明し、平衡波高を得ることを目的とする。

2. 解析 交互砂州の発達過程の解析の流れを図-1に示す。交互砂州の形状を卓越した2つモードの和として(1)式で与えよ (step 1)。図-3に(1)式で表現される河床形状の1例を示す。(1)式は、河床高さの高いところほぼ平坦で、側岸付近が深掘れする実際の交互砂州の横断形状を良く表現している。(1)式の第二項は、縦断方向に1波長平均した河床の横断形状であり、藤田ら<sup>2)</sup>の漸錐型形状に対応する。このような河床形状が発達する機構は、既に著者ら<sup>3)</sup>が理論的に明らかにしている。交互砂州上の流れを平面的二次元流解析により求める (step 2)。交互砂州の安定解析では、一般に流れは線形解を用いる。しかし、河床形状に対して流れおよび流砂量が線形であれば、流れが河床形状を発達させる効果と減衰させる効果の比は波高が増大しても変化しないため、微小擾乱により発生した交互砂州の波高は常に発達しきり、波高は時間的に発散してしまうことになる。交互砂州の発達がやみ、平衡波高に至る主な原因は、波高が発達にともなうて河床の

形状が変化し、この河床形状に対して、流れおよび流砂量が非線形になるためであると考えられる。そこで、ペターベイション法により流れの非線形解を求める。ここでは、(1)式で  $a_1 < 1$  を仮定し、さらに実験的に<sup>4)</sup>  $a_1$  は  $a_1^2$  のオーダーであることより、流速変動量、水位変動量をもじる移動展開して、各オーダージとの線形微分方程式より、流速の変動量  $U_1, U_2, U_3, V_1, V_2, V_3$  および水位変動量  $\zeta_1, \zeta_2, \zeta_3$  を求める。河床に作用するセン断力は(5),(6)式のように流速の二乗に比例すると仮定している。交互砂州のように、砂粒子の平均移動距離に比し波長が十分長く河床形状上の流砂量は平衡流砂量で近似できるため、交互砂州上の流砂量分布は著者らの平衡流砂量式<sup>3)</sup>より求める(step 3)。つぎに流砂の連続式より、単位時間あたり河床高さの変化を求める(step 4)。河床形状に対する流れの非線形性および河床セン断力に対する流砂量の非線形性のために、(1)式で与えたモード以外の河床形状が現われてくる。しかし、実験的に得られた交互砂州の縦・横断形状は、(1)式では表現し得ることを考慮して他のモードの項を省略すると、河床形状(1)式と、流砂量(7),(8)式が流砂の連続式(9)を満足するための条件より、交互砂州の発達速度、移動速度が得られる(step 5)。(1)式の河床形状の2つモードの発達速度がゼロとなるとき、交互砂州は一定形状を保しながら移動するようになる。こりとさの交互砂州形状を安定形状と呼び、波高を平衡波高と呼ぶ(step 6)。藤田らの定義に従うと、(1)式で表わされる交互砂州の波高は次式となる。 $a_1 \geq 4a_2$  のとき  $Z_B = 2h_0a_1$  (13),  $a_1 < 4a_2$  のとき  $Z_B = h_0 + a_1 + 2a_2 + a_1^2/(8a_2)$  } (14)

3. 解析結果および考察 (13)あるいは(14)式より求まる交互砂州の平衡波高と実験結果との対応を図-4に示す。与えた波長では理論的に交互砂州が発生しないより、および安定形状が存在しないものは除外してプロットした。図中の破線は、計算で得られた  $a_1$  をもとに描いたデータの区分線である。こりによると  $a_1$  の発達がすぐやむものほど実測の波高をよく説明し得ることがわかる。理論的に得られた安定形状は、一部のもとを除いて  $a_1 > 4a_2$



図-1 河床の構造

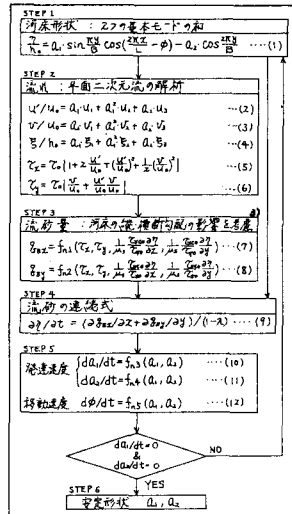


図-2 解析の流れ図

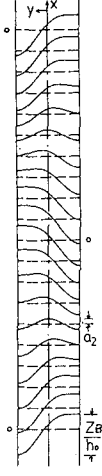


図-3 (1)式による河床形状

を満足していなかったため、理論波高は  $a_1$  の大きさを示している。理論では  $a_1$  が大きいものはほど安定形状に至ったときの  $a_1$  の値が実測の波高より大きくなる。これは、 $a_2$  が表現される河床形状による流れが  $a_1$  を過大に発達させているためである。

これは主に次のようないくつかの原因による。平面二次元流の解析では、流体に作用するセン断力は河床によって規定され、流体間の横断方向の相互摩擦は無視されるとしている。したがって、 $a_2$  の河床形状に起因する流速の変動量は、図5に示すように  $a_2$  の約半分にもなる。この流速分布と  $a_1$  の河床形状に起因する流れは、側岸付近の河床セン断力の流下方向変化を増大させる作用をするため、 $a_1$  が大きくなるほど  $a_1$  の発達が促進されることになる。しかし、現実には、 $a_2$  が大きくなるほど  $a_1$  の発達が促進されることになる。このため、河床高さの場所的な変化に対する流速変化の比は理論で求まるよりもよりも小さくなる。この効果を解析の中に取り入れることで、交互砂州の安定波高をより正確に表現できると考えられる。図6は、藤田ら<sup>1,2)</sup> のRun C-1に対応する交互砂州の発達過程の解析結果である。横軸は時間、平均流砂量、平均水深が無次元化している。交互砂州の発達段階はあらわしきれども、この実験例については上記の理由により、平衡波高までは説明できない。図7は交互砂州上の変動流速ベクトル図である。図中の(a)は図6で発達過程にある T=150 に対応するもの、(b)は藤田らの Run 25 と同じ水理条件で計算された平衡状態に至った後の変動流速ベクトル図である。(a), (b)を比較すると、流れのパターンはほぼ同じように見える。両者とも、流砂量を大きく支配する縦断方向流速の大きな所で流速ベクトルが流路の中央向き、逆に横断方向流速の小さな所で側岸向きとなり、流れは  $a_2$  の河床形状を発達させる作用をしている。Run 25 での発達がやんざいなのは、この流れによるセン断力が  $a_2$  を発達させる効果と、河床に横断勾配があることにより砂粒子が斜面をこうがり落ちて波を減衰させる効果とが釣り合っているためである。横断勾配をもつことによる波高の減衰効果は無次元掃流比  $Z_B/h_0$  が大きければほど小さくなる。 $(a)$  図では、横断方向流速の大きな場所で流速ベクトルの偏角が、(b) 図の場合よりも若干大きくなっているに加え、C-1 の  $Z_B/h_0$  は Run 25 のそれよりも大きいため、 $a_2$  の形状は発達を続ける。 $a_2$  の河床形状が発達すると、先に述べた理由により  $a_1$  の河床形状も発達することになり、安定形状に至ることができない。しかし、任意に与えた河床形状上の流速ベクトル (c) は、平衡に至ったときの流速ベクトル (b) と著しく異なるものに対して、時間的な変化過程を考慮した (a) では、平衡状態が存在しないのにかかわらず、自ら河床形状を変化せながら (b) の平衡状態の流れのパターンに近づいて行く。したがって、 $a_2$  の河床形状に起因する流れが  $a_1$  の河床形状を発達させる効果を適切に評価できれば、より広い範囲の実験データに対し平衡波高を理論的に算定し得ると考えられる。

[参考文献] 1) 藤田: 京大, 学位論文. 2) 藤田・村本: 第26回水講.

3) 福岡・山坂: 第27回水講. 4) 長谷川・山岡: 第26回水講. 5) 福岡・内島: 第27回水講.

6) 土木学会水理委員会: 淡水流の三次元流況と流路形態に関する研究

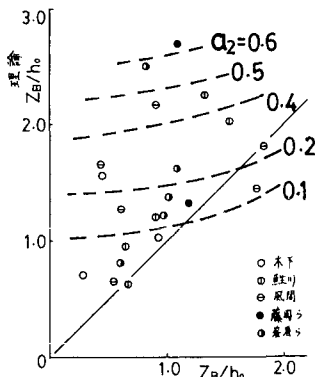


図4 交互砂州の平衡波高

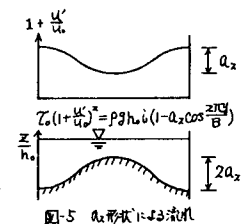


図5  $a_2$  形状による流れ

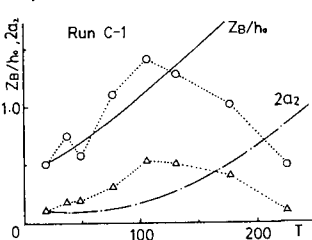


図6 交互砂州の発達過程

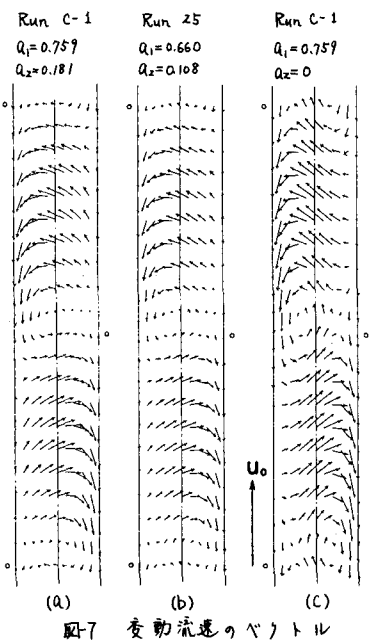


図7 變動流速のベクトル